

การเสื่อมสภาพของแผ่นพลาสติกโพลิโอลีฟินอันเนื่องจากแสงแดด

PHOTOOXIDATIVE DEGRADATION OF POLYOLEFIN FILMS



รายงานวิจัยทางวิทยาศาสตร์ สาขาวิชา พลังงาน ร่างกาย
การเปลี่ยนแปลงสมบัติทางกายภาพของพลาสติกโพลิโอลีฟิน

W. UDOMKICHDECHA, S. CHUAYJULJIT,

K. HEMACHANDRA, P. SANTISUK, O. SARAVARI

Department of Materials Science, Faculty of Science,
Chulalongkorn University, Bangkok 10330, THAILAND

ABSTRACT

Three commercial Polyolefin films ; Polypropylene (PP), High Density Polyethylene (HDPE), and Low Density Polyethylene (LDPE), have been studied. The samples were placed outdoor for photooxidative degradation examination. The effect of photooxidation was observed by measuring carbonyl formation in the films (carbonyl index) and followed by monitoring their tensile strength and elongation. It was found that the carbonyl index increased with increasing exposure time, on the other hand, tensile strength and elongation showed opposite result. However, There appeared to be no simple correlation between carbonyl index and mechanical properties of the films.

บทคัดย่อ

แผ่นพลีมที่ใช้ทำเป็นถุงพลาสติกในห้องตลาดมี 3 ชนิด คือ ถุงร้อน (Polypropylene, PP) ถุงเย็น (Low Density Polyethylene, LDPE) และ ถุงหูหิ้ว (High Density Polyethylene, HDPE) ได้ถูกนำมากดลอง โดยทางไว้กางแจ้งเพื่อศึกษา

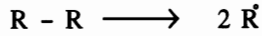
การเสื่อมสภาพเมื่อถูกแสงอาทิตย์ ซึ่งทำได้ด้วยการวัดปริมาณการเกิดหมู่คาร์บอนิลในพลีม (ค่า carbonyl index) จากนั้นจะตามด้วยการสังเกตการเปลี่ยนแปลงสมบัติทางกายภาพแรงดึงและการยืดด้วย จากการศึกษาพบว่า ค่า carbonyl index เพิ่มขึ้น เมื่อเวลาที่ถูกแสงอาทิตย์เพิ่มขึ้น ในขณะที่ความทนแรงดึงและการยืดด้วยกลับแสดงผลในทางตรงข้าม อย่างไรก็ได้ ผลที่ได้ทั้งหมดยังไม่สามารถแสดงให้เห็นถึงความสัมพันธ์โดยตรงระหว่างค่า carbonyl index และสมบัติเชิงกลของแผ่นพลีมที่ทดสอบ

คำนำ

พลาสติกเป็นสารไฮโดรคาร์บอน เมื่อได้รับพลังงานจากแสงอาทิตย์จะแตกตัวได้ง่ายและเป็นสาเหตุเริ่มต้นของการเสื่อมสภาพของพลาสติก ซึ่งการเสื่อมสภาพจะเกิดได้เร็วขึ้นและมากขึ้นหากมีก๊าซออกซิเจนร่วมอยู่ด้วย โดยพลาสติกจะดูดซับพลังงานจากรังสีอุลตราไวโอเลต ทำให้พันธะของ C และ H แตกออก และเข้าทำปฏิกิริยา กับออกซิเจน เกิดหมู่เคมีบางชนิดขึ้น โดยเฉพาะหมู่ไฮดรペอร์ออกไซด์ (ROOH) ชนิดที่ย่อยสลายเป็นหมู่คาร์บอนิล (carbonyl group) และหมู่ไฮดรอกซิล (hydroxyl group) ซึ่งเป็นสาเหตุสำคัญที่ทำให้เกิดการเสื่อมสภาพของพลาสติก

ปฏิกิริยาการแตกตัว หรือปฏิกิริยาออกซิเดชันของไฮโดรคาร์บอนโพลิเมอร์จะเป็นปฏิกิริยาของการเกิดฟรีเอดิกัล โดยขั้นตอนแรกของกระบวนการออกซิเดชัน จะได้เปอร์ออกซิเอดิกัล (ROO^\cdot) ซึ่งจะเข้าไปดึงไฮโดรเจนอะตอมจากสายโซ่โนมเลกุลทำให้ความเข้มข้นของหมู่ไฮโดรเปอร์ออกซี (ROOH) เพิ่มขึ้น ซึ่งต่อมาจะถลายตัวให้อัล蔻กซีเอดิกัล (RO^\cdot) ซึ่งสามารถแสดงได้ดังนี้ (1)

1. โนมเลกุลของไฮโดรคาร์บอนจะแตกออกเป็นฟรีเอดิกัล



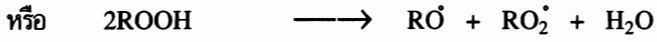
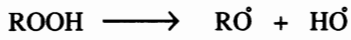
2. ไฮโดรคาร์บอนเอดิกัล (R^\cdot) จะรวมตัวกับออกซิเจนอย่างรวดเร็ว เกิดเปอร์ออกซิเอดิกัล (ROO^\cdot)



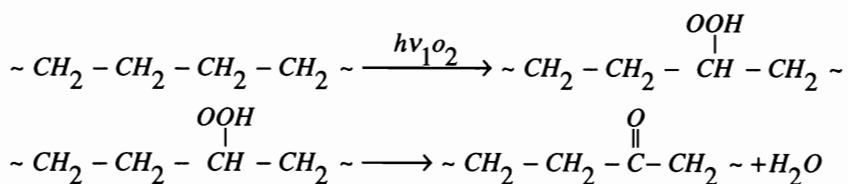
3. เปอร์ออกซิเอดิกัลจะดึงไฮโดรเจนจากไฮโดรคาร์บอนโนมเลกุลอื่น เกิดไฮโดรเปอร์ออกซี (ROOH)



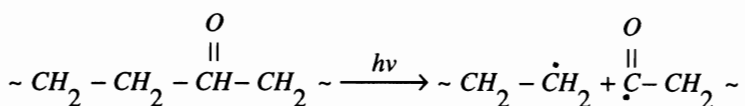
4. ไฮโดรเปอร์ออกซีจะถลายตัว ($\text{O} - \text{O}$ ขาดออก) ให้อัล寇กซีเอดิกัล (RO^\cdot)



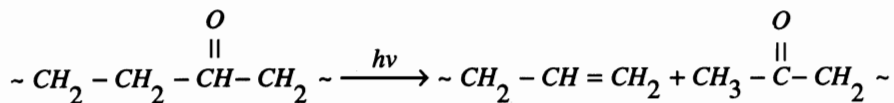
พิล์มของโพลิเอทิลีนมีความต้านทานต่อรังสีอุลตราไวโอลेट เมื่อปราศจากก้าชออกซิเจนและทบทวนต่อออกซิเจนในกรณีที่ไม่ได้รับรังสีอุลตราไวโอลेट แต่เมื่อสัมผัสถกับทั้งออกซิเจนและรังสีอุลตราไวโอลेटโพลิเอทิลีนจะเปลี่ยน เนื่องจากการเกิดปฏิกิริยาออกซิเดชันโดยแสง (Photooxidation) และจะเกิดหมู่ไฮโดรเปอร์ออกไซด์ (ROOH) ซึ่งสามารถถลายตัวไปเป็นหมู่คาร์บอนิล หลังจากนั้น โนมเลกุลของโพลิเอทิลีนที่มีหมู่คาร์บอนนิลจะเกิดการแตกตัวจากกระบวนการ Norrish type I หรือ Norrish type II เป็นผลให้สายโซ่โนมเลกุลสั้นลง น้ำหนักโนมเลกุลดลดลง ซึ่งทำให้ความแข็งแรงของโพลิเมอร์ลดลงด้วย ปฏิกิริยาการแตกตัวของโพลิเอทิลีนแสดงได้ดังนี้(2)



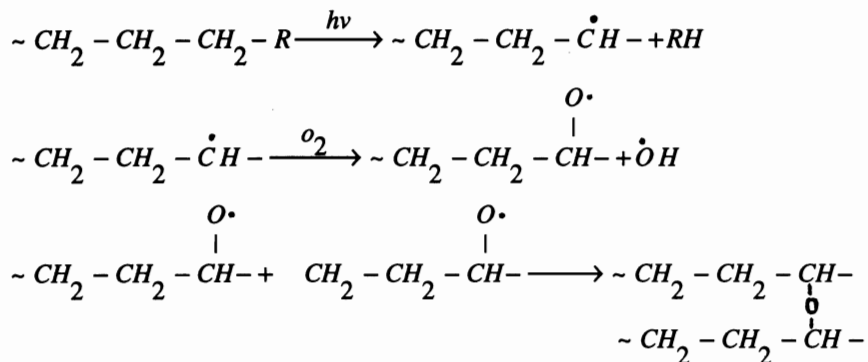
1. Norrish type I



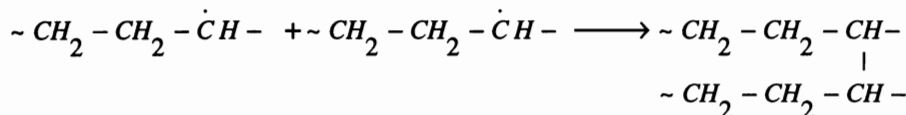
2. Norrish type II



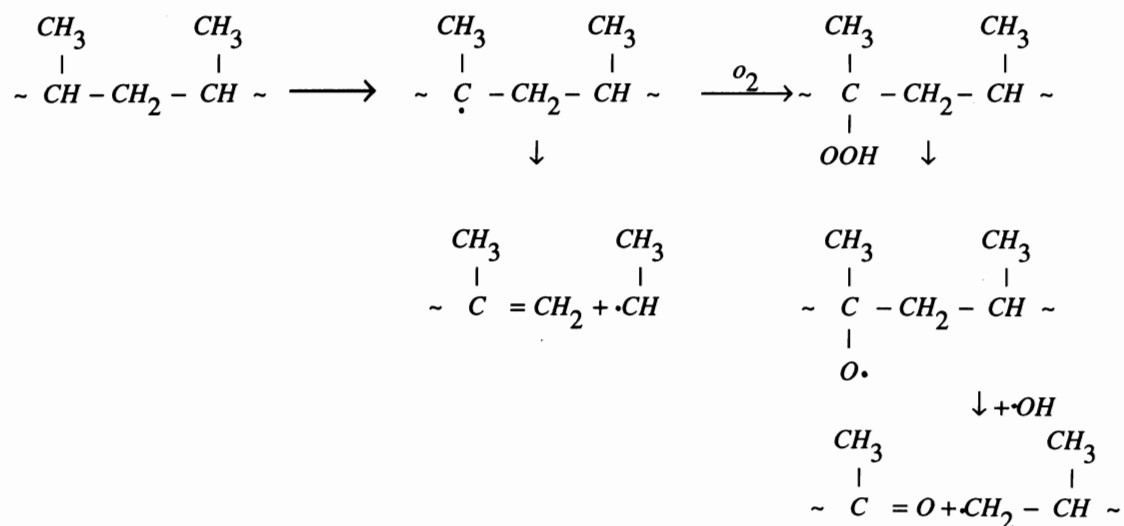
นอกจากนี้ อาจเกิดปฏิกริยาเชื่อมโยงระหว่างโมเลกุลของโพลีเอทิลีนอิกด้วย ทำให้โครงสร้างและสมบัติของโพลีเมอร์เปลี่ยนไป ปฏิกริยาเชื่อมโยงที่เกิดขึ้นเป็นดังนี้⁽²⁾



หน้า ๑๖



สำหรับพิล์มโพลิโพรพีลิน เมื่อได้รับรังสีอุตตราไวโอลেตจากแสงอาทิตย์และเมื่อออกซิเจนในบรรยากาศจะให้สายโซ่ไม่เลกูลดอกันหนักไม่เลกูละลดลงอย่างรวดเร็ว การเสื่อมสภาพของโพลิโพรพีลินจะเนื่องมาจากการปฏิกิริยาออกซิเดชัน โดยอาศัยกลไกการเกิดฟรีเอดิกัล เช่นเดียวกัน และการมีตำแหน่ง tert-C-H ในโพลิโพรพีลินยังช่วยให้สายโซ่ไม่เลกูลดอกันเร็วขึ้น⁽³⁾ ปฏิกิริยาการเกิดออกซิเดชันจะเป็นดังนี้



วัสดุคุณภาพและการทดสอบ

วัสดุพิเศษ

- ถุงร้อน PP (Polypropylene) เป็นแผ่นฟิล์มใส คล้ายกระดาษแก้ว แข็ง ไม่ยืดหยุ่น มีจุดหลอมเหลวในการผลิตสูง 180–230 °C

- ถุงหุ้ว HDPE (High Density Polyethylene) เป็นแผ่นฟิล์มชุ่มน้ำ แข็ง ยืดหยุ่นได้บ้าง มีจุดหลอมเหลวในการผลิตสูง 170–220 °C

- ถุงเย็น LDPE (Low Density Polyethylene) เป็นแผ่นฟิล์มค่อนข้างใส นิ่ม ยืดหยุ่นได้พอกสมควร มีจุดหลอมเหลวในการผลิตต่ำ 120–170 °C

การทดสอบ

- ตัดแผ่นฟิล์มตัวอย่างให้ได้ขนาด 9 นิ้ว x 12 นิ้ว แล้วนำไปวางบนแผ่นตะแกรงที่เตรียมไว้ตามมาตรฐาน ASTM D 1435-85⁽⁴⁾ ดังแสดงในรูปที่ 1 เมื่อเวลาผ่านไปแต่ละสัปดาห์ ตัวอย่าง (กลุ่มละ 5 ชิ้น) จะถูกนำมารทดสอบเพื่อหาค่า carbonyl index ด้วยเครื่องวิเคราะห์ FTIR (Fourier Transform Infrared Spectrometer) ตามสูตร

$$\text{Carbonyl index (C.I.)} = \frac{\text{peak height at } 1715 \text{ cm}^{-1}}{\text{peak height at } 1467 \text{ cm}^{-1}}$$

ในเวลาเดียวกันแผ่นฟิล์มจะถูกนำไปทดสอบเพื่อหาค่าความทนแรงดึง (tensile strength) และการยืดตัว (elongation) ด้วยเครื่อง “Lloyd” Universal Testing Machine ตามมาตรฐาน ASTM D 882-83⁽⁵⁾

ผลการทดสอบ

จากการวิเคราะห์สมบัติทางเคมีเพื่อติดตามการเกิดปฏิกิริยา Photooxidation ภายในโครงสร้างโมเลกุล อันสืบเนื่องจากอิทธิพลของแสงอาทิตย์ โดยอาศัยปริมาณหมู่คาร์บอนิลที่เกิดขึ้นเป็นตัวบ่งชี้ ซึ่งสังเกตได้จาก FTIR Spectrum ในรูปที่ 2, 3, 4 จะเห็นว่า peak ของหมู่คาร์บอนิลนั้นจะอยู่ที่ wavenumber 1715 cm⁻¹ ตัวอย่างของแผ่นฟิล์มพลาสติกทั้ง 3 ชนิด ก่อนการวางแผนทดสอบ (สัปดาห์ที่ 0) จะไม่ปรากฏ peak ให้เห็นเลย ในขณะที่เมื่อปล่อยทิ้งไว้ในเวลาต่างกันออกไป peak ก็จะเริ่มปรากฏและมีขนาดใหญ่ขึ้น เมื่อถูกตากแดดนานขึ้น อันเป็นการยืนยันว่าสายโซ่โมเลกุลของโครงสร้างทางเคมีได้เกิดการแตกสลาย และเกิดการสร้างหมู่คาร์บอนิลเพิ่มขึ้นจริง ลักษณะเช่นนี้ย่อมจะไปส่งผลให้แผ่นฟิล์มพลาสติกมีความทนแรงดึงต่ำลง การยืดตัวต่ำลง มีลักษณะเปราะและแตกเป็นชิ้นเล็กๆ ได้ง่าย

ในกรณีของ PP จะเห็นว่าค่า C.I. ซึ่งเป็นตัวบ่งชี้ปริมาณการเกิดหมู่คาร์บอนิล มีค่าเพิ่มขึ้นอย่างรวดเร็ว (ตารางที่ 1 และรูปที่ 5) ในขณะที่ค่าความทนแรงดึงและการยืดตัวลดลงอย่างรวดเร็วตามไปด้วย ภายใต้เวลาเพียงแค่ 6 สัปดาห์ ตัวอย่าง PP ก็หมดสภาพที่จะนำไปทดสอบความทนแรงดึงได้อีกต่อไป เนื่องจากจะเปราะและแตกเมื่อเทียบกับ HDPE และ LDPE แล้ว ลักษณะการเปลี่ยนแปลงของทั้งค่า C.I., ความทนแรงดึง และการยืดตัว (ตารางที่ 2, 3 และรูปที่ 5) ก็จะมีลักษณะเช่นเดียวกันเพียงแต่ช่วงเวลาที่พลาสติกหมดสภาพนั้นจะนานกว่า คือใช้เวลา 14 และ 18 สัปดาห์ ตามลำดับ และอัตราการเปลี่ยนแปลงก็จะมากกว่าด้วย ทั้งนี้เป็นไปตามทฤษฎีที่กล่าวว่าการมีตำแหน่ง tert C-H ใน PP จะทำให้สายโซ่โมเลกุลขาดเร็วขึ้นเมื่อเทียบกับ PE

สรุปผลการทดลอง

จากผลการทดลองทั้งหมดอาจสรุปได้ว่า

1. พลาสติกในลักษณะของแผ่นฟิล์มที่ใช้ทำบรรจุภัณฑ์ทั่วไป เมื่อปล่อยทิ้งไว้ให้ถูกแสงอาทิตย์ ตามสภาพธรรมชาติจะเกิดการเสื่อมสภาพ เปราะแตก อันสืบเนื่องจากการเกิดออกซิเดชันในโครงสร้างโมเลกุล ซึ่งสังเกตได้จากค่า carbonyl index

2. ในขณะที่ค่า carbonyl index เพิ่มขึ้น ในฟิล์มที่ทำการทดสอบค่าความทนแรงดึงและการยืดตัว จะแสดงผลในทางตรงกันข้าม คือจะลดลง เมื่อความสัมพันธ์ระหว่างการเปลี่ยนแปลงที่เกิดขึ้น ยังไม่สามารถแสดงได้ด้วยสมการง่ายๆ ก็ตาม แต่พожะชี้ให้เห็นได้ว่า ค่า C.I. เพิ่มขึ้น ฟิล์มจะเกิดการเปราะและแตกมากขึ้นไปด้วย

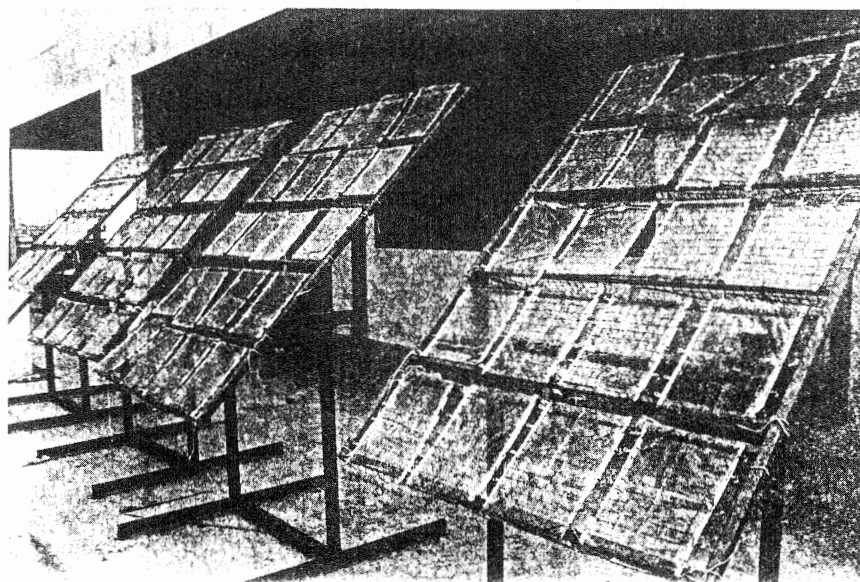
3. ถุงร้อน (PP) จะเปราะแตกหรือหมดสภาพที่จะทนต่อการทดสอบแรงดึง เมื่อทิ้งไว้ให้ถูกแสงอาทิตย์ 6 สัปดาห์ ในขณะที่ถุงหู提 (HDPE) และถุงเย็น (LDPE) ใช้เวลา 14 และ 18 สัปดาห์ ตามลำดับ

4. จากผลการทดลองนี้พอจะกล่าวได้ว่า ถุงพลาสติกบรรจุภัณฑ์ที่ใช้ทั่วไปในห้องตลาด หาก

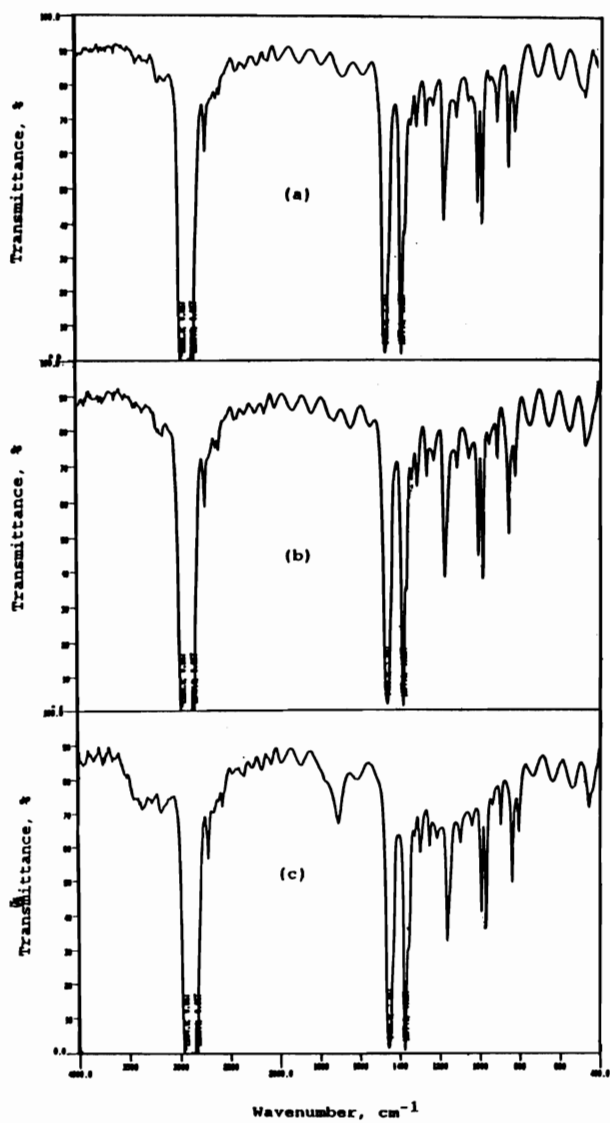
ปล่อยทิ้งไว้กลางแจ้งก็จะเกิดการเสื่อมสภาพได้ในระดับหนึ่งอยู่แล้ว ทั้งนี้ขึ้นกับชนิดของโพลิเมอร์ที่เป็นวัตถุดิน ดังนั้นกระบวนการที่จะทำลายพลาสติกที่ใช้แล้วเหล่านี้ อาจทำได้โดยการปล่อยให้เสื่อมสภาพเนื่องจากการเกิดออกซิเดชัน พลาสติกจะเปราะแตกเป็นชิ้นเล็กลง หลังจากนั้นจึงตามด้วยกระบวนการย่อยสลายทางชีวภาพต่อไป

เอกสารอ้างอิง

1. J.A. Brydson, Plastics Materials, 4th Edition, 1982.
2. G.Y. Gordon, Stabilization of Synthetic High Polymers, Israel Program for Scientific Translation, Jerusalem 1964, 57-81.
3. A.B. Mathur and G.N. Mathur, Photo-oxidative Degradation of Polypropylene Film, Indian Journal Technology, Vol.20, February, 1982.
4. ASTM D 1435-85, Standard Practice for Outdoor Weathering of Plastics. 1992 Annual Book of ASTM Standards. Volume 08.01. Plastics(1) : C 177-D 1600, 431-435
5. ASTM D 882-83, Standard Test Methods for Tensile Properties of Thin Plastic Sheeting, 1984 Annual Book of ASTM Standards. Vol. 08.01, Plastics(1) : C 177 - D 1600, 469-477.

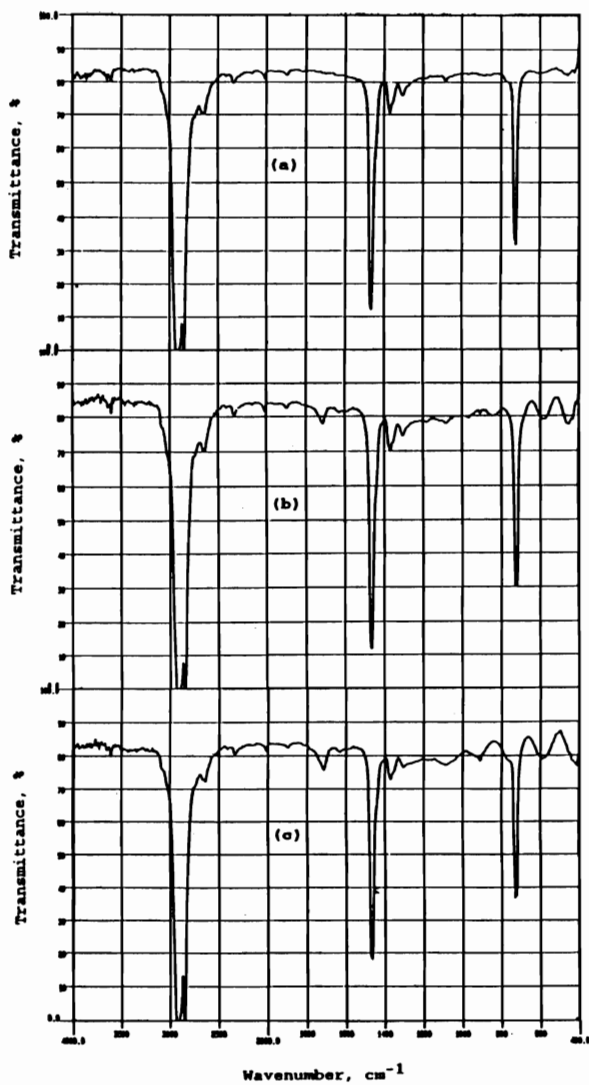


รูปที่ 1. แผ่นฟิล์มตัวอย่างที่ตากแดดอยู่บนแผงซึ่งออกแบบและวางตามมาตรฐาน ASTM



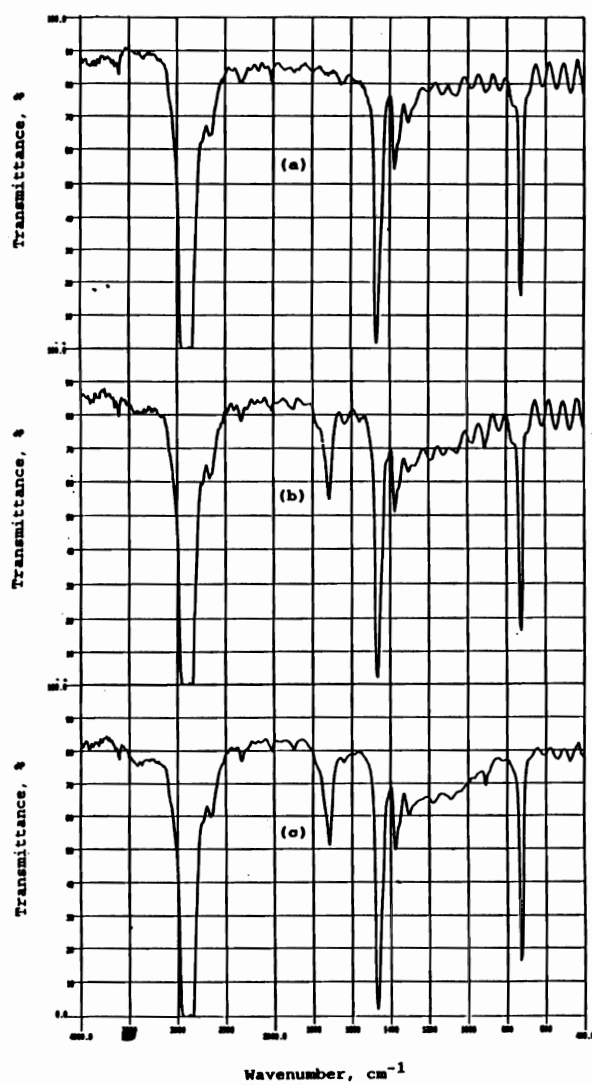
รูปที่ 2. FTIR Spectra ของพีพี ภายหลังได้รับ
แสงอาทิตย์เป็นเวลา

- (a) 0 สัปดาห์
- (b) 3 สัปดาห์
- (c) 7 สัปดาห์



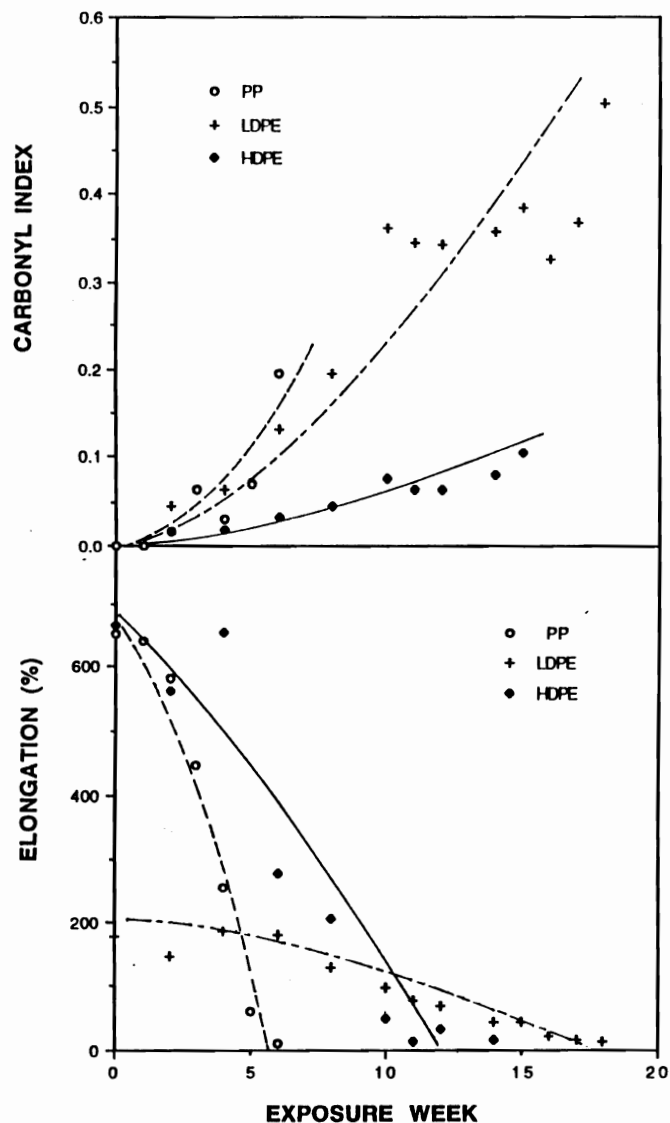
รูปที่ 3. FTIR Spectra ของพีดีพี ภายหลังได้รับ
แสงอาทิตย์เป็นเวลา

- (a) 0 สัปดาห์
- (b) 5 สัปดาห์
- (c) 10 สัปดาห์



รูปที่ 4. FTIR Spectra ของฟิล์ม LDPE ภายหลังไดร์บ
แสงอาทิตย์เป็นเวลา

- (a) 0 สัปดาห์
- (b) 5 สัปดาห์
- (c) 10 สัปดาห์



รูปที่ 5. การเปลี่ยนแปลงของค่า Carbonyl Index และ Elongation(%)
ของพลาสติก PP, HDPE, LDPE ในช่วงเวลาต่างๆ กัน

ตารางที่ 1 การเปลี่ยนแปลงของค่า Carbonyl Index, Tensile Strength และ Elongation
ของพลาสติก PP เมื่อทิ้งไว้ถูกแสงแดดในช่วงเวลาต่างๆ กัน

EXPOSURE WEEK	Tensile Strength (N/mm ²)	Elongation (%)	Carbonyl Index
0	36.44	650.3	-
1	28.23	639.8	-
2	21.64	580.4	0.016
3	20.05	447.4	0.063
4	17.38	256.1	0.031
5	15.18	60.7	0.069
6	15.92	11.2	0.195

ตารางที่ 2 การเปลี่ยนแปลงของค่า Carbonyl Index, Tensile Strength และ Elongation
ของพลาสติก HDPE เมื่อทิ้งไว้ถูกแสงแดดในช่วงเวลาต่างๆ กัน

EXPOSURE WEEK	Tensile Strength (N/mm ²)	Elongation (%)	Carbonyl Index
0	34.32	665.9	-
2	34.40	560.3	0.016
4	37.46	653.4	0.019
6	14.98	277.0	0.033
8	14.00	204.5	0.046
10	16.99	51.2	0.076
11	17.44	41.5	0.063
12	18.64	34.8	0.064
14	20.41	17.5	0.081

**ตารางที่ 5 การเปลี่ยนแปลงของค่า Carbonyl Index, Tensile Strength และ Elongation
ของพลาสติก LDPE เมื่อถูกแสงแดดในช่วงเวลาต่างๆ กัน**

EXPOSURE WEEK	Tensile Strength (N/mm ²)	Elongation (%)	Carbonyl Index
0	17.30	176.3	-
2	14.92	145.3	0.046
4	17.05	186.5	0.064
6	11.06	178.9	0.131
8	9.02	128.9	0.196
10	11.86	97.2	0.361
11	10.74	78.4	0.346
12	11.52	68.8	0.344
14	12.59	46.1	0.358
15	12.14	44.3	0.384
16	8.64	23.0	0.327
17	9.59	17.0	0.368
18	6.77	14.2	0.503